

Contribution à la conception à base de composants logiciels d'applications scientifiques parallèles.

5 novembre 2012

Vincent Pichon
LIP/Avalon - EDF/SINETICS/I2A
École Normale Supérieure de Lyon

Encadrants : Christian Pérez et André Ribes

Plan

- 1 Contexte
 - Applications scientifiques et ressources parallèles
 - Composition spatiale et temporelle
- 2 Plateforme SALOMÉ
 - Vue d'ensemble
 - Composition spatiale et temporelle
- 3 Décomposition de domaine
 - Analyse
 - Implémentation
 - Évaluation
- 4 Raffinement de maillage adaptatif
 - Analyse
 - Implémentation
 - Évaluation
- 5 Décomposition de domaine et composition bas niveau
 - Analyse
 - Implémentation
 - Évaluation
- 6 Conclusions et perspectives

Ressources

Grappes de serveurs

- Topologie réseau simple, homogène
- GPU

Supercalculateurs

- Large échelle, topologie réseau, GPU

Grilles de calcul

- Fédération de ressources, hétérogène

Cloud computing

- Coût, élasticité des ressources



Modèles de programmation

Paradigmes

- Multithread (Pthread, OpenMP)
- GPU (CUDA, OpenAcc)
- Passage de message (PVM, MPI)
- Appel de méthode distante (GridRPC, CORBA)
- Passage de documents (Web Services)

Complexité

- Aucun modèle ne propose de solution adéquate
- Combinaison MPI + OpenMP ... OpenAcc
- Durée de vie d'un code ~ 30 ans, d'une ressource ~ 3 ans
- Portage régulier d'une ressource à l'autre
- Maintenance et évolution complexe

Modèles de composition

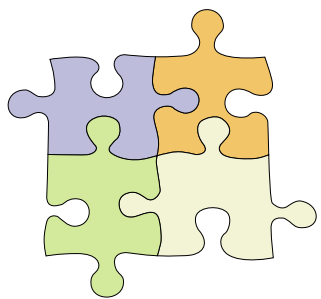
McIlroy, Mass Produced Software Component, 1968

- Composant
- Unité binaire indépendante déployable
 - Offre des services
 - Déclare dépendances de services et contexte

Assemblage

- Primitif et composite

Spatiale ou/et temporelle



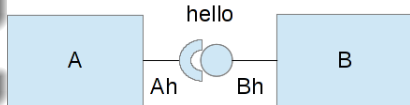
Composition spatiale

Évolution POO

Port - interfaces

Construction par composition

- Corba Component Model (CCM)
- Common Component Architecture (CCA)
- Fractal
- Grid Component Model (GCM)
- Distributed Software Component (DSC)



```
interface hello {  
    void say_hello();  
}  
component B {  
    provides hello Bh;  
}  
component A {  
    uses hello Ah;  
}
```

```
Implémentation:  
pah = get_Ah_port();  
pah->say_hello();
```

Composition temporelle

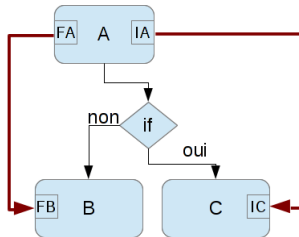
Flût de données

- Port in out

Flût de contrôle

- Dépendance temporelle
- Structures de contrôle

Kepler, Triana, MOTEUR,
ASSIST, YACS



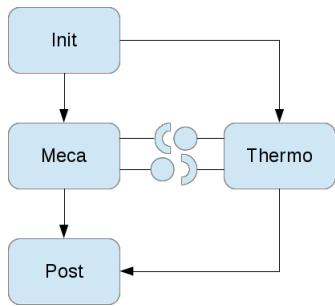
```
component A {
    dataout float FA;
}
```

```
component B {
    datain float FB;
}
```

Composition spatiale et temporelle

Dépendance spatiale et temporelle

ULCM, SALOME



Plan

- 1 Contexte
 - Applications scientifiques et ressources parallèles
 - Composition spatiale et temporelle
- 2 Plateforme SALOMÉ
 - Vue d'ensemble
 - Composition spatiale et temporelle
- 3 Décomposition de domaine
 - Analyse
 - Implémentation
 - Évaluation
- 4 Raffinement de maillage adaptatif
 - Analyse
 - Implémentation
 - Évaluation
- 5 Décomposition de domaine et composition bas niveau
 - Analyse
 - Implémentation
 - Évaluation
- 6 Conclusions et perspectives

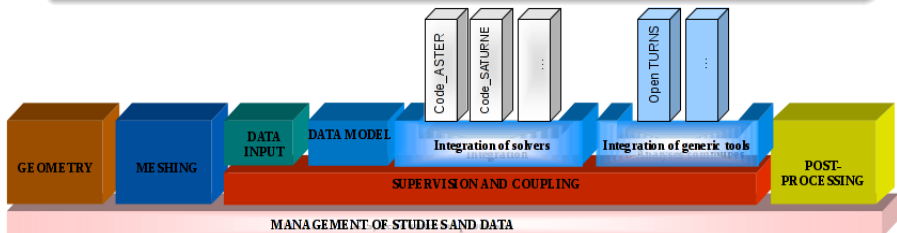
Plateforme SALOME

Plateforme Open Source d'intégration de solveurs numériques.

Développée par EDF et le CEA

Composition spatiale : modèle de composant DSC

Composition temporelle : modèle de workflow YACS



Distributed Software Component (DSC)

Module Kernel

Objet SALOMÉ

- Objet CORBA
- Cycle de vie dans SALOMÉ : Fabrique
- Bibliothèque dynamique
- Conteneur

Composant SALOMÉ

- Ports uses/provides CORBA

Service

- Fonctionnalité d'un code, méthode d'un objet SALOMÉ

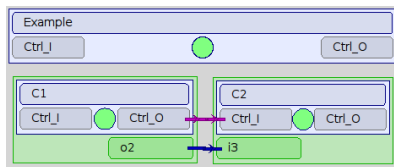
Yet Another Coupling System (YACS)

Modèle

- Workflow : schéma de couplage
- Noeud
- Structures de contrôle
- Dataflow, datastream

Superviseur

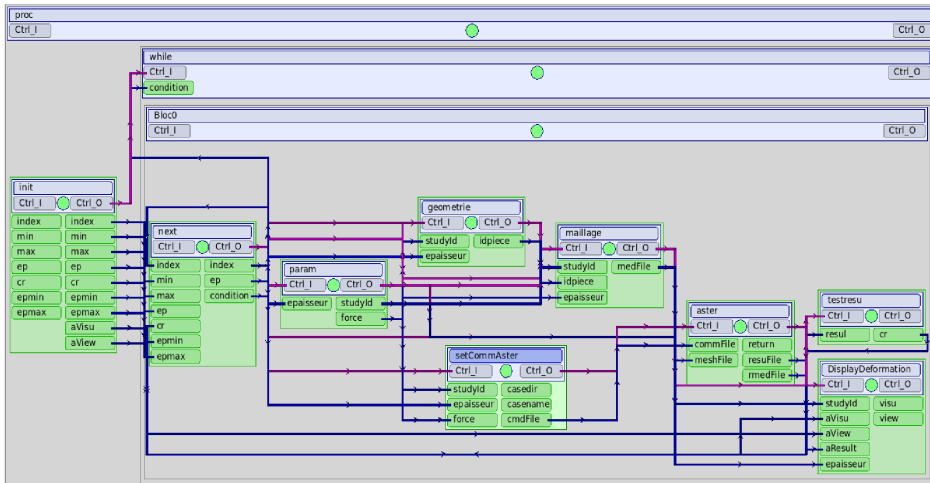
- Exécution et contrôle
- GUI
- API Python



```
interface Composant1: Engine::Component
{
    void C1(out string o2);
}
```

```
interface Composant2: Engine::Component
{
    void C2(int string i3);
}
```

Exemple de schéma YACS



Problématique

SALOMÉ

- Utilisée en production
- Nombreuses applications
- Étendre le modèle

Méthode

- Exemple représentatif d'une classe.
- Abstraction : décomposition de domaine.
- Dynamicité : raffinement de maillage adaptatif

Décomposition de domaine

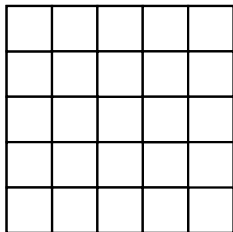
- 1 Contexte
 - Applications scientifiques et ressources parallèles
 - Composition spatiale et temporelle
- 2 Plateforme SALOMÉ
 - Vue d'ensemble
 - Composition spatiale et temporelle
- 3 **Décomposition de domaine**
 - **Analyse**
 - **Implémentation**
 - **Évaluation**
- 4 Raffinement de maillage adaptatif
 - Analyse
 - Implémentation
 - Évaluation
- 5 Décomposition de domaine et composition bas niveau
 - Analyse
 - Implémentation
 - Évaluation
- 6 Conclusions et perspectives

Décomposition de domaine

Simulation numérique

Précision
● Finesse de maillage

Découpage du domaine



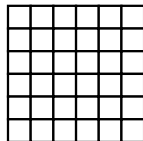
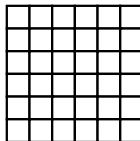
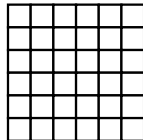
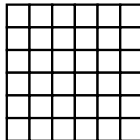
Décomposition de domaine

Simulation numérique

Pécision

- Finesse de maillage

Découpage du domaine

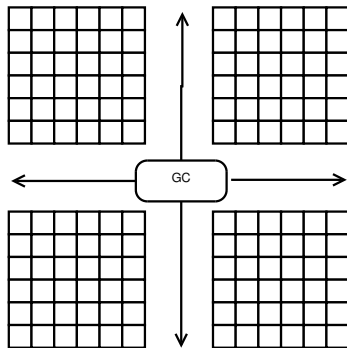


Finite Element Tearing and Interconnect (FETI)

Farhat et Roux, 1991

Algorithme

- Découpage du domaine de simulation
- Étape de calcul
- Étape de résolution du problème aux interfaces



Implémentation de FETI

Code_ ASTER

- Simulation thermo-mécaniques
- 1,500,000 lignes (FORTRAN, Python, MPI)

Implementation dans Code_ ASTER

- Plusieurs années
- Tâche complexe

Implementation avec SALOMÉ

- Pas de modification d'ASTER
- Algorithme FETI dans un schéma de calcul YACS
- Plusieurs mois
- Performances identiques
- Reconstruction de l'application pour chaque cas

Complexité de programmation

Paramètre : nb de sous-domaines

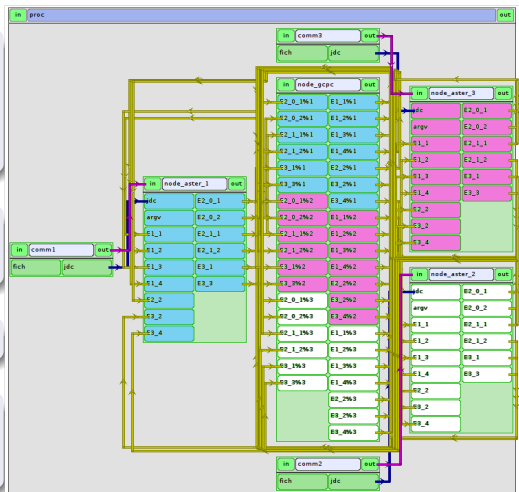
- Nb de composants ASTER
- Nb de ports

Reconstruction demandée
régulièrement

Tâche fastidieuse

Scripts (38 fichiers, 2350 lignes)

- Manque d'expressivité



Clonage de noeuds et ports

Extension du modèle de programmation

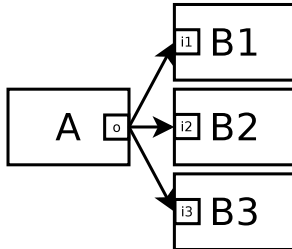
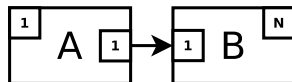
- Cardinalité attachée à chaque noeud

Clonage de noeuds

- Propriété
- Fixe le nombre de répliques

Clonage de ports

- Propriété
- Autorise le clonage



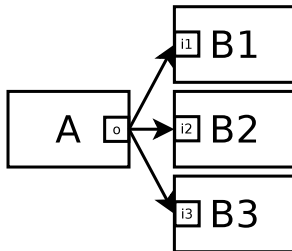
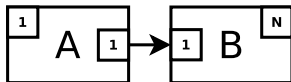
Cas possibles

Configurations possibles

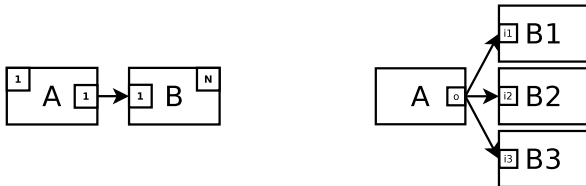
- Type de connexion (datastream/dataflow)
- Sens de la connexion
- A noeud source, B noeud de destination

Cas

- cas NxM
- cas 1.1-N.1
- cas N.1-1.N
- cas 1.N-N.1
- cas 1.N-1.1



Cas 1.1-N.1



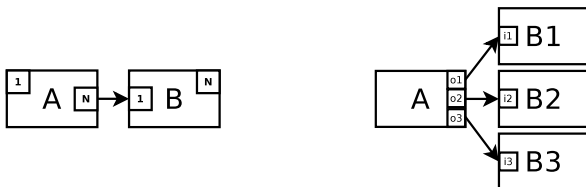
Dataflow

Possible (broadcast)

Datastream

Possible (uses multiple)

Cas N.1-1.N



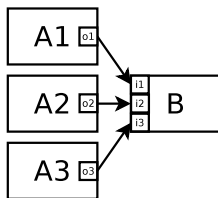
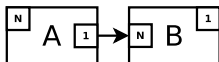
Dataflow

Non supporté (demande une recompilation)

Datastream

Possible (création de ports DSC)

Cas 1.N-N.1



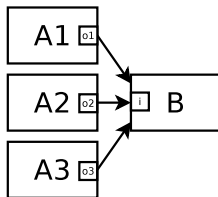
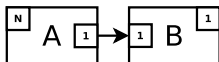
Dataflow

Non supporté (demande une recompilation)

Datastream

Possible (création de ports DSC)

Cas 1.N-1.1



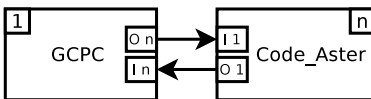
Dataflow

Non valide (manque opérateur de réduction)

Datastream

Possible (provides multiples)

Evaluation



Scripts inutiles

- Schéma de calcul générique
- Pas de recompilation

Performances égales

- Clonage avant exécution (ms)

Gain d'expressivité

Raffinement de maillage adaptatif

- 1 Contexte
 - Applications scientifiques et ressources parallèles
 - Composition spatiale et temporelle
- 2 Plateforme SALOMÉ
 - Vue d'ensemble
 - Composition spatiale et temporelle
- 3 Décomposition de domaine
 - Analyse
 - Implémentation
 - Évaluation
- 4 Raffinement de maillage adaptatif**
 - Analyse
 - Implémentation
 - Évaluation
- 5 Décomposition de domaine et composition bas niveau
 - Analyse
 - Implémentation
 - Évaluation
- 6 Conclusions et perspectives

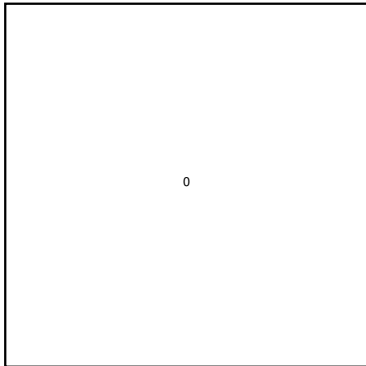
Raffinement de maillage adaptatif

- Augmenter la précision augmente le nombre de calculs
- Dans certains problèmes, l'erreur est localisée

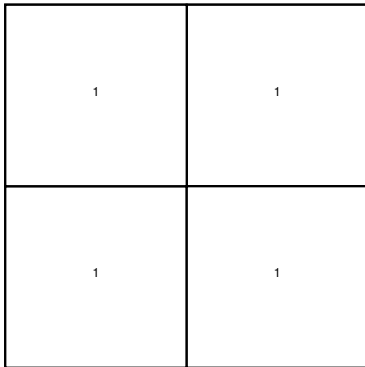
Méthode AMR

- Proposée par Berger et Oliger, 1984
- Adapter la finesse du maillage en fonction de l'erreur
- Raffinement par décomposition

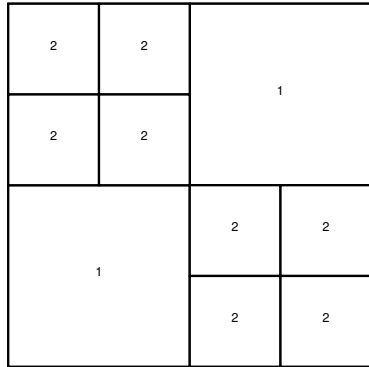
Exemple d'exécution : état initial



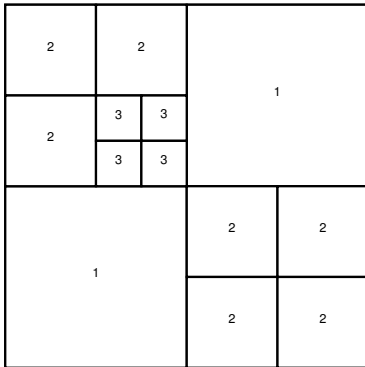
Exemple d'exécution : étape 1



Exemple d'exécution : étape 2



Exemple d'exécution : étape 3



AMR et composants

Objectif

Étudier le support de l'AMR par les modèles de composants

Domaine 2D, quad-tree

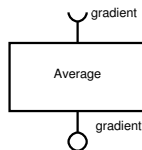
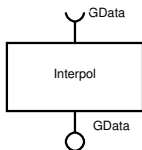
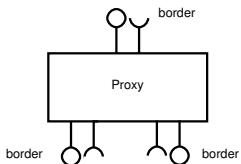
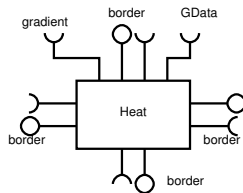
Équation de la chaleur

Invariant : taille des données d'un composant

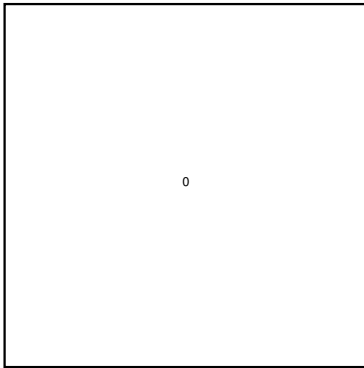
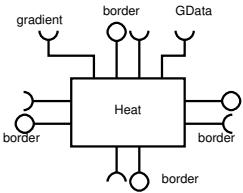
AMR et composants

Composant primitifs

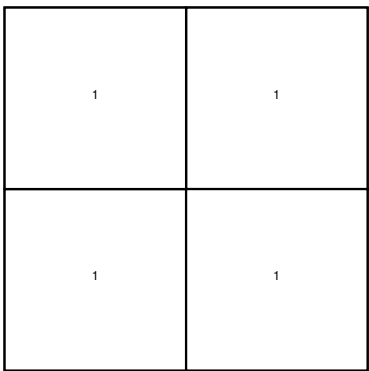
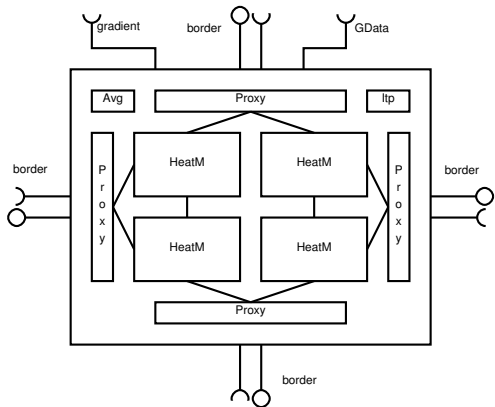
- **Heat** simule un domaine
- **Proxy** redistribue les frontières
- **Interpol** interpole les données
- **Average** rassemble l'erreur



Composant HeatM



Composant HeatM



Implémentation avec SALOME

Création de composants à la demande

- API Python de YACS
- Scripts

Calcul

- Transmission de la requête de calcul aux feuilles de l'arbre

Reconfiguration

- Récupération de l'erreur
- Modification de l'architecture

Composant composite

- Gestion de l'arbre de composants

Évaluation

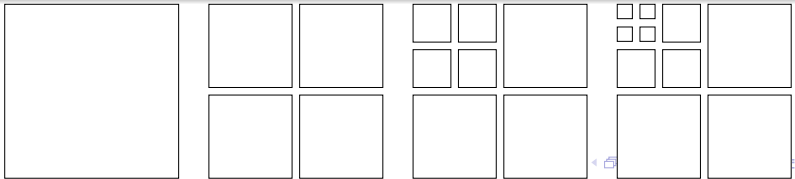
Objectifs

- Scalabilité

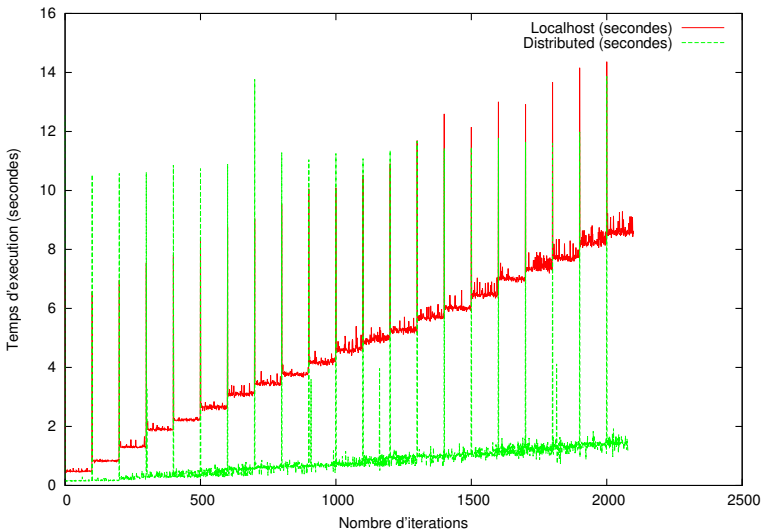
Grid'5000

Évolution d'un scénario

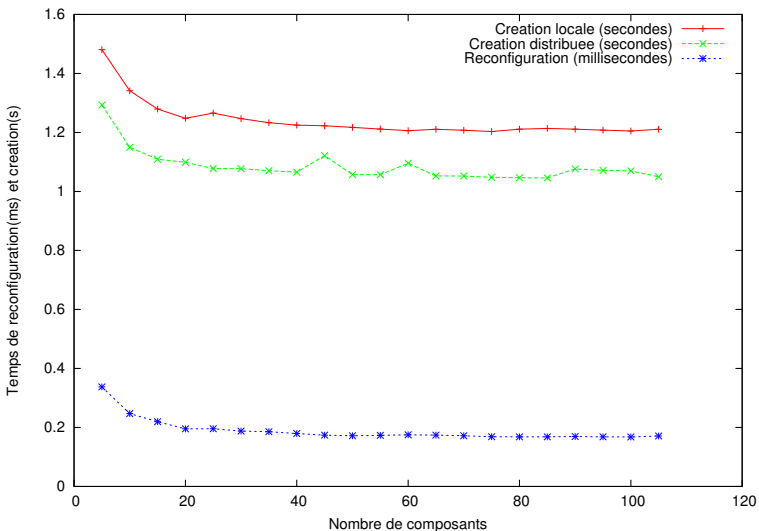
- Raffinement d'un noeud du dernier niveau
- 20 niveaux de raffinement
- 105 composants
- 100 itérations entre les étapes de raffinement



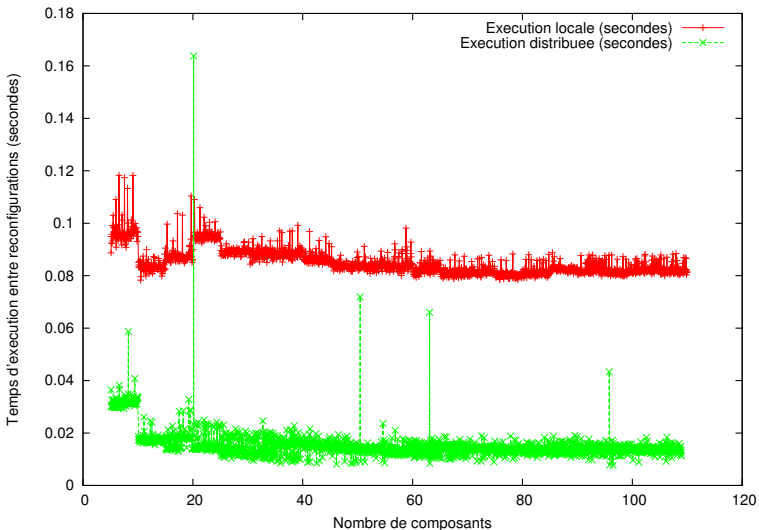
Évolution scénario



Temps de reconfiguration



Temps d'exécution



Conclusion

Faisabilité en dehors du modèle

Composant composite

Dynamicité

Déploiement séquentiel

Moteur de workflow centralisé

Non superposition des phases

Décomposition de domaine et composition bas niveau

- 1 Contexte
 - Applications scientifiques et ressources parallèles
 - Composition spatiale et temporelle
- 2 Plateforme SALOMÉ
 - Vue d'ensemble
 - Composition spatiale et temporelle
- 3 Décomposition de domaine
 - Analyse
 - Implémentation
 - Évaluation
- 4 Raffinement de maillage adaptatif
 - Analyse
 - Implémentation
 - Évaluation
- 5 **Décomposition de domaine et composition bas niveau**
 - Analyse
 - Implémentation
 - Évaluation
- 6 Conclusions et perspectives

Composition bas niveau

Codes natifs

Différentes versions en fonctions des ressources visées.

- Faible réutilisation de code

Modèles de composants

- Abstraction des communications
- Pénalité de performances (CCM, CCA, ...)

Modèle de composants bas niveau

Low Level Component (L²C)

Julien Bigot et Christian Perez

Connecteurs : Composition native (C++, MPI, CORBA)

- Création/destruction des composants
- Configuration (connexion)
- Transfert du contrôle à un composant

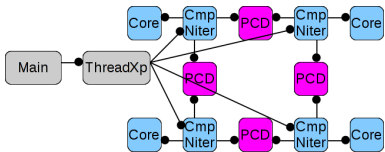
Aucun code L²C entre les composants à l'exécution

Objectif

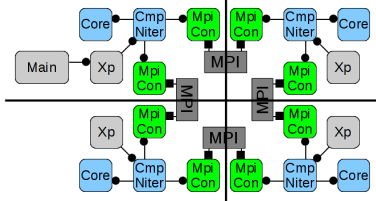
- Réutilisabilité
- Expressivité
- Performance

Thread et MPI

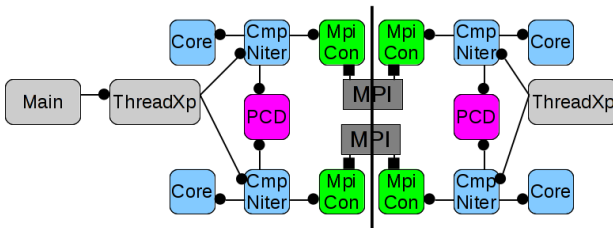
Multi-coeurs



Multi-noeuds

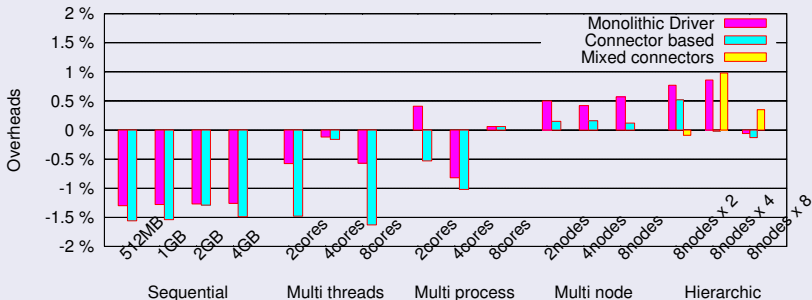


Multi-coeurs multi-noeuds (hiérarchique)



Évaluation

Performance



Complexité cyclomatique

Version	Native	Connecteur
Séquentiel	28	8
Threaded	76	26
MPI	55	13

Analyse

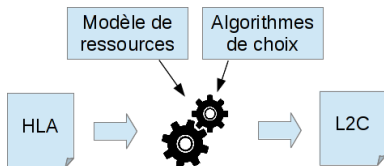
- Pas d'overhead
- Augmente l'expressivité (possibilité de combiner MPI et Thread)
- Diminue la complexité cyclomatique (séparation des rôles)

L²C n'est pas pratique à écrire (XML)

- Assemblage produit par un modèle de plus haut niveau

HLCM

- Hiérarchique, générique avec connecteurs
- Algorithme de choix
- Modèle de ressources



Conclusion

Applications scientifiques à base de composants logiciels

Décomposition de domaine avec SALOMÉ

- Ajout du concept de clonage de noeuds/ports
- Implémentation de l'extension

AMR

- Réalisation de l'AMR avec SALOMÉ
- Identification des limites du modèle

Décomposition de domaine avec modèle bas niveau

- Étude de performance avec L^2C
- Mêmes performances que les codes natifs

Perspectives

SALOMÉ

Augmentation du niveau d'abstraction

- Composite
- Généricité

Dynamicité

- Création de composants à la demande

HLCM

Généricité

- Algorithme de choix
- Modèles de ressource

Dynamicité